

## بررسی اثر ترکیبی داروی دفروکسامین و دوز پایین آرسنیک تری اکساید بر میزان زنده‌مانی و مهار پرولیفراسیون رده‌ی سلولی NB<sup>4</sup>

کاظم غفاری<sup>۱</sup>, دکتر احمد کاظمی<sup>۲</sup>, دکتر شعبان علیزاده<sup>۳</sup>, علی قاسمی<sup>۱</sup>, ندا مینایی<sup>۱</sup>, عباس قوطاسلو<sup>۱</sup>, بهنوش طبیبی<sup>۴</sup>, دکتر محمدرضا رضوانی<sup>۵</sup>

### مقاله پژوهشی

### چکیده

**مقدمه:** لوسمی پرومیلوسیتیک حاد یکی از لوسمی‌های شایع رده‌ی میلوئیدی است. تدابیر درمانی مهم، استفاده از ترانس رتینوئیک اسید و در سال‌های اخیر آرسنیک تری اکساید می‌باشد. ترانس رتینوئیک اسید در برخی موارد باعث مقاومت به درمان و آرسنیک نیز در دوز بالا، سمی است. هدف از این مطالعه، بررسی اثر دفروکسامین بر رده‌ی سلولی پرومیلوسیتیک حاد NB<sup>4</sup> جهت کاستن اثرات سمی دوز بالای آرسنیک می‌باشد.

**روش‌ها:** در این مطالعه بعد از کشت و تکثیر رده‌ی سلولی NB<sup>4</sup>, سلول‌ها با دوزهای مختلف دفروکسامین ( $\mu\text{M}$  ۵۰، ۱۰۰ و ۲۰۰) و دوز پایین آرسنیک ( $\mu\text{M}$  ۰/۵) در ترکیب با دوزهای مختلف دفروکسامین ( $\mu\text{M}$  ۵۰، ۱۰۰ و ۲۰۰) تیمار شدند. پس از شمارش سلول‌ها، فعالیت متابولیک با روش MTT (Microculture tetrazolium test) برای بررسی Excel نرم‌افزار آزمون t داده‌ها استفاده شد.

**یافته‌ها:** سلول‌های تیمار شده با دوزهای مختلف دفروکسامین به تنها ۵٪ و در ترکیب با آرسنیک، کاهش درصد زنده‌مانی و کاهش فعالیت سلولی وابسته به دوز و زمان را نشان دادند. دوز ترکیبی آرسنیک  $\mu\text{M}$  ۰/۵ و دفروکسامین  $\mu\text{M}$  ۲۰۰ بیشترین اثر را در کاهش زنده‌مانی و فعالیت متابولیکی و دوز  $\mu\text{M}$  ۵۰ دفروکسامین کمترین اثر را در زنده‌مانی و فعالیت متابولیکی نشان دادند.

**نتیجه‌گیری:** این مطالعه نشان داد که دفروکسامین اثربخشی قابل توجهی بر زندگی رده‌ی سلولی NB<sup>4</sup> دارد و همچنین باعث کاهش فعالیت سلولی می‌شود.

**وازگان کلیدی:** لوسمی پرومیلوسیتیک حاد، آرسنیک تری اکساید، دفروکسامین

**ارجاع:** غفاری کاظم، کاظمی احمد، علیزاده شعبان، قاسمی علی، مینایی ندا، قوطاسلو عباس، طبیبی بهنوش، رضوانی محمدرضا. بررسی اثر ترکیبی داروی دفروکسامین و دوز پایین آرسنیک تری اکساید بر میزان زنده‌مانی و مهار پرولیفراسیون رده‌ی سلولی NB<sup>4</sup>. مجله دانشکده پزشکی اصفهان ۱۳۹۳؛ ۳۲ (۲۸۸): ۶۶-۷۱.

۱- کارشناس ارشد، گروه هماتولوژی، دانشکده پیراپزشکی، دانشگاه علوم پزشکی تهران، تهران، ایران

۲- استاد، گروه هماتولوژی، دانشکده پیراپزشکی، دانشگاه علوم پزشکی ایران، تهران، ایران

۳- استادیار، گروه هماتولوژی، دانشکده پیراپزشکی، دانشگاه علوم پزشکی تهران، تهران، ایران

۴- کارشناس ارشد هماتولوژی آرمایشگاهی و بانک خون، گروه هماتولوژی، دانشکده پیراپزشکی، دانشگاه علوم پزشکی مشهد، مشهد، ایران

۵- دانشیار، گروه هماتولوژی، دانشکده پیراپزشکی، دانشگاه علوم پزشکی ایران، تهران، ایران

نویسنده‌ی مسؤول: دکتر احمد کاظمی  
Email: a.kazemi@iums.ac.ir

آرسنیک تری اکساید (Arsenic trioxide) یا ATO از داروی مناسبی می‌باشد. آرسنیک در دوزهای پایین به تنهایی نمی‌تواند باعث آپوپتوز شود و در دوزهای بالا نیز اثر سمی روی بافت‌های سالم دارد (۶).

زمانی که ATO به تنهایی به بیمار APL تجویز می‌شود، باعث بهبود در ۷۰ درصد بیماران می‌گردد؛ در حالی که در صورت ترکیب با ATRA، باعث بهبود در ۹۰ درصد بیماران می‌شود. اگر چه نتیجه‌ی درمان APL با ATRA و یا ATO در ترکیب با داروهای شیمی درمانی باعث بهبود بیماری می‌شود، اما عود و مقاومت دارویی به ATRA و یا ATO در برخی بیماران یکی از مشکلات حیاتی می‌باشد (۷).

دفروکسامین (Deferoxamine) یا DFO دارای وزن مولکولی ۶۵۶/۷۹، نیمه‌ی عمر ۶ ساعت، به صورت داخل جلدی، داخل وریدی، داخل ماهیچه‌ای و دهانی تجویز می‌شود. به صورت پودری سفید رنگ و دارای ساختار شیمیایی  $C_{25}H_{48}N_2O_10S$  می‌باشد (۸). DFO به عنوان یک مادر دارانی و شلاته کننده‌ی آهن در درمان گرانباری آهن استفاده می‌شود (۹). DFO به عنوان یک داروی ضد توموری نزد مطرح می‌باشد. آهن در شروع تومور (Tumor initiator) و تحریک ایجاد تومور (Tumor promotor) نقش دارد. خطر نسبی تومور در افراد با افزایش اشبع ترانسفرین و رژیم غذایی غنی از آهن افزایش می‌یابد (۱۰).

مطالعات نشان داده است که سلول‌های رده‌ی نوروپلاستوم حساس به DFO می‌باشند. DFO در ارتباط با دوز و زمان، سبب کاهش زنده‌مانی (Viability) سلول‌های رده‌ی نوروپلاستوم می‌شود. حدود ۹۰ درصد کاهش در زنده‌مانی این سلول‌ها

## مقدمه

لوسومی پرومیلوسیتی حاد (AML) یا AML-M<sup>۳</sup> (Acute promyelocytic leukemia) یا (Acute myeloid leukaemia-M<sup>۳</sup>) لوسومی‌های حاد میلوئیدی است که حدود ۱۰ درصد از مبتلایان به سرطان حاد میلوبلاستی را در بر می‌گیرد (۱). در این بیماری، تجمع سلول‌های غیر طبیعی خون‌ساز با ویژگی پرومیلوسیتی در مغز استخوان، غالب است. این بیماری به طور معمول با ناهنجاری کروموزومی (q21;q22) t(15;17) می‌شود، که در بیش از ۷۰٪ درصد بیماران مشاهده می‌گردد (۲).

این جایه‌جایی، زن‌های گیرنده‌ی راسید رتینوئیک (Promyelocytic leukemia) PML (RAR $\alpha$ ) که به ترتیب روسی کروموزم‌های ۱۷q و ۱۵q گرفته‌اند، متصل می‌کند. پروتئین الحاقی ایجاد شده، نقش مهمی در لوکوموژنی APL ایفا می‌کند که پدیده‌ی تمایز در آن متوقف شده است (۳).

از طرف دیگر، این پروتئین الحاقی به عنوان گیرنده برای داروی ترانس رتینوئیک اسید (All trans retinoic acid RAR $\alpha$  پروتئین الحاقی و آزادسازی RAR $\alpha$  Retinoic acid receptor alpha) می‌شود که نتیجه‌ی آن تمایز میلوئیدی است (۴). در بین لوسومی‌های میلوئیدی، APL به ATRA حساسیت بالایی نشان داده است که در ترکیب با شیمی درمانی موجب بهبودی بالینی وقت می‌شود، اما بیمار با دریافت ATRA بیشتر به آن مقاوم می‌شود و موجب عود (Relapse) بیماری می‌گردد (۵).

در مواردی که عود بیماری وجود دارد، داروی

شود و همچنین در صورت دارا بودن اثر تقویتی معنی‌دار روی کاهش فعالیت متابولیکی سلول و زنده‌مانی آن، بتوان در آینده و پس از انجام مطالعات تکمیلی از ترکیب این دو دارو در درمان APL بهره‌مند شد.

## روش‌ها

### کشت سلول

در این مطالعه رده‌ی سلولی NB<sup>4</sup> (سلول‌های لوسمی برومیلوسیتیک حاد) که از انسیتو پاستور ایران تهیه شد، RPMI1640 مورد مطالعه قرار گرفت. سلول‌ها در محیط (Gibco) (Roswell Park memorial institute 1640) که حاوی ۱۰ درصد سرم جنین گاوی (Gibco)، بیکربنات سدیم (Invitrogen) و ۱۰۰ μl پنی سیلین-۱۰۰ μg استرپتومایسین (Bioidea) می‌باشد، کشت شده شدند.

محیط کشت بعداز تهیه در دمای ۴°C نگهداری شد و قبل از استفاده به دمای محیط (24°C) رسانده شد. سارکوزای کشت داده شده در انکوباتور با ۵ درصد CO<sub>2</sub> در دمای ۳۷°C نگهداری شدند.

### تیمار کردن سلول‌ها با دارو

سلول‌ها در مرحله‌ی رشد لگاریتمی که در بهترین وضعیت خود به سر می‌برند و ممکن است بیش از ۹۰ درصد سلول‌ها در حال تقسیم باشند، با دوزهای مختلف DFO (۵۰, ۱۰۰ و ۲۰۰ μl) به تنها یک و ترکیبی با ATO (۰/۵ μl) تیمار شدند. بنابراین در این مرحله می‌توان زمان دو برابر شدن (Doublution time) سلول‌ها را نیز محاسبه کرد. در مورد سلول‌های NB<sup>4</sup> زمان دو برابر شدن ۲۴ ساعت محاسبه شد. داروی دفروکسامین و آرسنیک

۹۶ ساعت بعد از تیمار با DFO دیده شده است (۱۱). یک کاهش ۵۰-۸۰ درصدی زنده‌مانی هپاتوماسل‌ها در تیمار با DFO نیز نشان داده شده است (۱۲).

مکانیسم‌های مهار رشد سلول‌های توموری توسط DFO پیچیده و اغلب ناشناخته می‌باشد. مشخص شده است که آنزیم ریبونوکلئوتید ردوکتاز، یک آنزیم واپسیه به آهن که سبب تبدیل ریبونوکلئوتیدها به داکسی ریبونوکلئوتیدها می‌شود، یکی از اهداف DFO می‌باشد؛ از این رو از این طریق DFO یک اختلال در سنتز DNA اجاد می‌کند (۱۳). از طریق مکانیسم‌های دیگری، بیش سبب القای آپوپتوز می‌شود. اگر چه این مکانیسم‌ها به طرز دقیق مشخص نیست، اما بعضی مکانیسم‌های آن شناخته شده است که از جمله‌ی آن‌ها فعل کردن کاسپازها و آنزیمهای پروتئولیتیک که واسطه‌ی القای آپوپتوز هستند، می‌باشد. DFO قادر است کاسپازهای ۸ و ۹ و کاسپاز ۳ را فعال کند (۱۴).

احتمال می‌رود DFO از طریق تخلیه‌ی آهن (Iron depletion) موجب آپوپتوز شود. از این رو، افزایش واپستگی سلول‌های توموری به آهن این مطلب را پیشنهاد می‌کند که تخلیه‌ی آهن به عنوان یک استراتژی درمانی در محدود کردن رشد تومور مطرح باشد، که این تخلیه‌ی آهن توسط شلاته کتنده‌های آهن از جمله DFO امکان پذیر است.

با توجه به مطالبی که ذکر شد، در این مطالعه سعی گردید اثر دوز پایین آرسنیک در ترکیب با DFO روی رده‌ی سلولی NB<sup>4</sup> بررسی شود تا از اثرات مضر دوز بالای آرسنیک و سایر مشکلات آن مثل عدم خاصیت آپوپتویک در دوز پایین کاسته

### بررسی فعالیت متابولیکی سلول‌ها با MTT assay

۱۰۰  $\mu\text{l}$  از سوسپانسیون سلولی در چاهک‌های پلیت ۹۶ خانه‌ای ریخته و سپس داروی DFO (Sigma) و ATO به چاهک‌ها اضافه شد. پس از گذشت سه زمان ۲۴، ۴۸ و ۷۲ ساعت، آزمون MTT (Sigma) مورد مطالعه قرار گرفت.

پودر (Microculture tetrazolium test) MTT با غلظت ۵ mg در ۱۰ ml محیط RPMI فاقد FBS یا توسط بافر PBS حل شد و معرف MTT تهیه گردید. سپس ۱  $\mu\text{l}$  از معرف MTT به هر چاهک اضافه شد و به مدت ۲–۳ ساعت در انکوباتور  $37^{\circ}\text{C}$  و ۵ درصد  $\text{CO}_2$  قرار داده شد. پس از گذشت زمان انکوباسیون، پلیت با دور ۵۲۰ g به مدت ۷ دقیقه با سانتریفیوژ پلیت خور، سانتریفیوژ شد. ۱۰۰  $\mu\text{l}$  از محلول رویی خالی شد و به آن ۱۰۰  $\mu\text{l}$  محلول (Dimethyl sulfoxide) DMSO (Sigma) اضافه گردید و پلیت با فویل آلومینیومی پوشانده شد و به مدت ۱۰ دقیقه داخل انکوباتور انکوبه گردید. سپس توسط ELISA reader (Dyllex Technologies) جذب نوری نمونه‌ها در طول موج ۵۷۰ nm ۵٪ خواند شد.

محاسبه‌ی مقدار P برای شمارش سلول‌ها، فعالیت متابولیکی و درصد زنده‌مانی با آزمون  $t$  و نرم‌افزار Excel انجام گردید.

### یافته‌ها

کاهش شمارش سلول‌های NB<sup>4</sup> به دنبال مواجهه با داروی DFO و ترکیب DFO با ATO در سه فاصله‌ی زمانی

کاهش شمارش سلول‌ها وابسته به دوز و زمان بود و

در محیط RPMI ۱۶۴۰ بدون FBS (Fetal bovine serum) رقیق شدند. بدین منظور، استوک داروی دفروکسامین با غلظت  $10000 \mu\text{M}$  در نظر گرفته شد. هر  $1 \text{ M}$  دفروکسامین برابر  $656/79 \text{ g/l}$  می‌باشد.  $100 \mu\text{M}$  برابر  $500 \text{ mg/10 ml}$  در  $10 \text{ ml}$  باشد و در  $10 \text{ ml}$  آرسنیک تری اکساید حدود  $200 \text{ mg/l}$  می‌باشد.  $1 \text{ M}$  آرسنیک برابر  $2 \text{ g}$  در  $10 \text{ ml}$  می‌باشد.  $2 \text{ mg}$  آرسنیک معادل  $2000 \text{ mg}$  است. برای این کار از آمپول‌های  $10 \text{ mg/10 ml}$  ATO ( $10 \text{ mg/10 ml}$ ) استفاده شد.

$50 \mu\text{M}$  ATO در آمپول‌ها دارای غلظت  $50 \mu\text{M}$  است. برای دقت بیشتر در این مطالعه، TO، رقیق شد و از غلظت  $50 \mu\text{M}$  استفاده گردید. بنابراین،  $1 \text{ ml}$  از دارو در  $990 \mu\text{L}$  محیط بدون FBS حل شد تا غلظت  $5 \mu\text{M}$  آرسنیک تهیه شود.

برای تیمار اولیه از پلیت‌های ۱۲ خانه‌ای و حجم نهایی  $1 \text{ ml}$  در هر چاهک استفاده شد. پس از تیمار درصد سلول‌های زنده با فاصله‌ی زمانی ۲۴، ۴۸ و ۷۲ ساعت به وسیله‌ی تریپان بلو محاسبه شد.

بررسی زنده‌مانی سلول‌ها با تریپان بلو: برای بررسی زنده‌مانی،  $50 \mu\text{l}$  از سوسپانسیون سلولی داخل میکروتیوب ریخته شد و به همان میزان تریپان بلو (Sigma) به آن اضافه گردید و به مدت ۲–۱۰ دقیقه در دمای اتاق انکوبه شد. سپس  $10 \mu\text{l}$  از سلول با لام نئوبار سلول‌های زنده و مرده شمارش گردید. سلول‌های زنده نسبت به رنگ تریپان بلو نفوذ ناپذیر و بی‌رنگ دیده می‌شوند. در سلول‌های مرده رنگ وارد سیتوپلاسم می‌شود و سلول‌ها به رنگ آبی مایل به بنفش دیده می‌شوند.

کمی روی زنده‌مانی داشت، اما دوزهای ۱۰۰ و ۲۰۰ DFO در ترکیب با ATO باعث کاهش قابل ملاحظه‌ای در میزان زنده‌مانی شد. کمترین زنده‌مانی سلول در دوز ترکیبی ۲۰۰ ATO با ۰/۵ DFO طی ۷۲ ساعت مواجهه با دارو مشاهده شد (جدول ۱).

با استفاده از فرمول زیر درصد زنده بودن سلول‌ها محاسبه شد:

$$\frac{\text{میانگین سلول‌های زنده}}{\text{میانگین مجموع سلول‌های زنده و مرده}} \times 100 = \text{درصد زنده ماندن}$$

بر طبق شکل ۱ داروی دفروکسامین به تنها‌یی بر زنده‌مانی سلول اثر می‌گذارد؛ اما در ترکیب با آرسنیک، اثربخشی آن بسیار مشهود است که می‌توان نتیجه گرفت که این دو دارو اثر هم‌افزایی و سینزیتیک در ترکیب با هم دارند.

مقدار P دوزهای مختلف DFO و ترکیب دوزهای DFO با دوز  $0.5 \mu\text{M}$  آرسنیک تری اکساید برای زنده‌مانی سلول‌ها بعد از ۲۴، ۴۸ و ۷۲ ساعت به میزان  $80 < P$  به دست آمد.

کمترین تعداد سلول در دوز ترکیبی ۲۰۰ ATO با ۰/۵ DFO طی ۷۲ ساعت مجاورت با دارو مشاهده گردید و بیشترین تعداد سلول در گروه شاهد و DFO ۵۰ طی ۲۴ ساعت مواجهه با دارو مشاهده شد (جدول ۱).

بررسی مقایسه‌ای تیمار دارویی در سه فاصله‌ی زمانی ۲۴، ۴۸ و ۷۲ ساعت نشان داد که کاهش قابل ملاحظه‌ای در تعداد سلول‌ها در ۷۲ ساعت بعد از تیمار دارویی وجود داشت. بیشترین کاهش تعداد سلول مربوط به دوز ترکیبی ۲۰۰ ATO با DFO ۰/۵ طی ۷۲ ساعت بعد از دوز ترکیبی ۲۰۰ DFO با دارو مشاهده زمانی بود.

برای دوزهای مختلف DFO و ترکیب دوزهای DFO با دوز  $0.5 \mu\text{M}$  آرسنیک تری اکساید با شمارش سلول‌ها بعد از ۲۴، ۴۸ و ۷۲ ساعت  $0.050 < P$  به دست آمد.

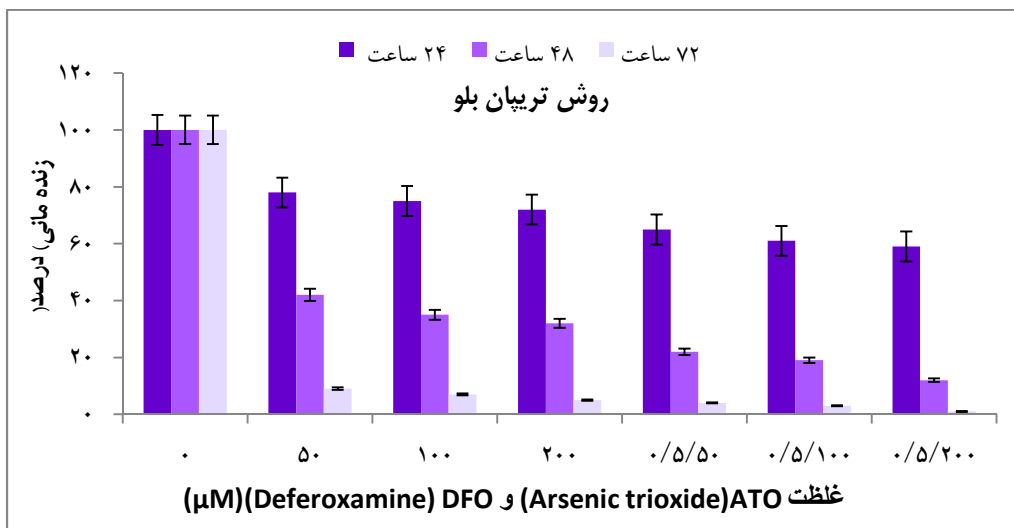
### کاهش زنده‌مانی در مواجهه با DFO و ترکیب DFO با ATO در سه دوز درمانی

دوز  $0.5 \mu\text{M}$  DFO به تنها‌یی و در ترکیب با دوز  $0.5 \mu\text{M}$  ATO در یک حالت وابسته به زمان اثر

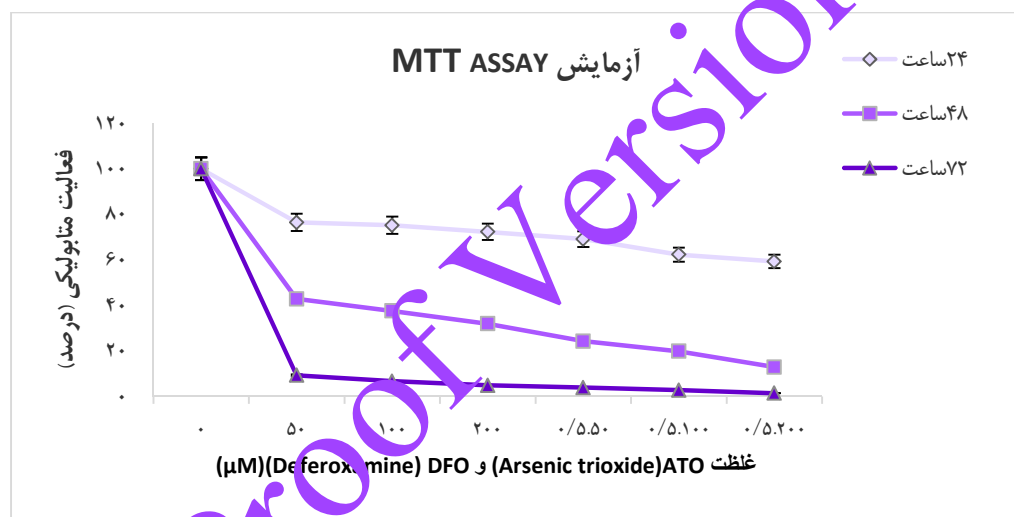
جدول ۱. شمارش سلولی پس از ۲۴، ۴۸ و ۷۲ ساعت مواجهه با دارو

ترکیب دارو	تعداد سلول		
	۲۴ ساعت	۴۸ ساعت	۷۲ ساعت
۵۰ DFO	۳۴۵۰۰	۱۶۸۰۰	۱۰۳۰۰
۱۰۰ DFO	۳۲۹۰۰	۱۴۰۰۰	۹۱۰۰
۲۰۰ DFO	۲۸۳۰۰	۱۱۱۰۰	۷۹۰۰
۰/۵ ATO/۵۰ DFO	۲۶۷۰۰	۹۵۰۰	۶۶۰۰
۰/۵ ATO/۱۰۰ DFO	۲۵۶۰۰	۸۰۰۰	۵۴۰۰
۰/۵ ATO/۲۰۰ DFO	۲۴۸۰۰	۷۲۰۰	۳۸۰۰
شاهد	۴۶۴۰۰	۳۰۲۰۰	۲۰۰۰

DFO: Deferoxamine; ATO: Arsenic trioxide



شکل ۱. پرسن مقایسه‌ای زنده‌مانی سلول‌ها با تریپان بلو پس از ۲۴، ۴۸ و ۷۲ ساعت مواجهه با دارو



شکل ۲. بررسی مقایسه‌ای فعالیت متابولیک سلول‌ها با MTT assay پس از ۲۴، ۴۸ و ۷۲ ساعت مواجهه با دارو

گردید. کمترین فعالیت متابولیکی در دوز ترکیبی ۲۰۰ μM ATO با ۰/۵ μM DFO طی ۷۲ ساعت مجاورت با دارو مشاهده گردید و بیشترین فعالیت متابولیکی در دوز ۵۰ μM DFO پس از ۲۴ ساعت مجاورت مشاهده شد (شکل ۲).

هر چه غلظت DFO بیشتر باشد، اثر مهار کنندگی بر فعالیت متابولیکی سلول بیشتر است. DFO در ترکیب با آرسنیک تری اکساید بیشترین اثر مهار

کاهش فعالیت متابولیکی سلول‌های NB4 به دنبال مواجهه با داروی DFO و ترکیب DFO با ATO در سه فاصله‌ی زمانی

برای بررسی فعالیت متابولیک سلولی، از آزمایش رنگ‌سنگی MTT در زمان‌های ۲۴، ۴۸ و ۷۲ ساعت استفاده شد. جذب نوری دوزهای مختلف با جذب نوری شاهد مقایسه شد و درصد فعالیت متابولیکی هر دوز طی سه زمان ۲۴، ۴۸ و ۷۲ ساعت محاسبه

درمان APL باعث کاهش سمیت و عوارض جانبی ATO گردد.

Zhang و همکاران، با مطالعه روی رده‌ی سلولی HL-60 نشان دادند که آرسنیک در دوز کم، اثر قابل توجهی در القای آپوپتوز روی این سلول‌ها ندارد (۱۶). آرسنیک به طور مستقیم باعث ساموئلینه (Sumoylation) و یوبیکوئینه شدن (Ubiquitination) پروتئین PML می‌شود و در نتیجه باعث تجزیه پروتئوزومال آن می‌شود (۶). همچنین آرسنیک در دوز کم به تنها‌ی اثری روی تکثیر و زندگمانی سلول‌ها ندارد. ترکیب ATRA و ATO باعث کاهش پروتئین الحاقی  $\alpha$ -PML-RAR و بقای بیشتر بیماران با APL می‌شود (۱۷).

در مطالعات Ex vivo نشان داده شد که DFO به عنوان یک داروی ضد توموری مفید مطرح می‌باشد. همچنان تیمار سلول‌های نوروبلاستوما با DFO سبب کاهش زندگمانی ۹۰ درصدی این سلول‌ها بعد از ۹۶ ساعت نشان دارد. در مطالعه‌ی حاضر بر روی سلول NB<sub>4</sub> نیز کاهش زندگمانی در دوز ترکیبی ۲۰۰ DFO با ۰/۵ ATO پس از ۷۲ ساعت مجاورت با دارو مشاهده شد که یکدیگر را تأیید می‌کند.

Tanaka و همکاران نشان دادند که DFO سبب مهار رشد سلول‌های بدخیم embryonal carcinoma cells F9 از طریق القای تماییزان می‌شود (۱۸). همچنین القای آپوپتوز در سلول‌های رده‌ی ML-1 (Myeloblastic leukemia) و Burkitts lymphoma (Raji) در تیمار با DFO نشان داده شده است. توقف رشد سلول‌های لوکمیک به دنبال درمان با DFO در یک نوزاد

کنندگی بر فعالیت متابولیک را دارد که نشان از تقویت اثر آرسنیک توسط DFO می‌باشد.

مقدار P دوزهای مختلف DFO و ترکیب دوزهای DFO با دوز  $0.5\text{ }\mu\text{M}$  آرسنیک تری اکساید برای فعالیت متابولیکی بعد از ۲۴ ساعت  $<0.050$  P، بعد از ۴۸ ساعت معادل  $0.003 > P$  و بعد از ۷۲ ساعت  $<0.008$  P محاسبه شد که معنی دار بودند.

## بحث

مطالعه‌ی حاضر نشان می‌دهد که DFO می‌تواند باعث کاهش زندگمانی مطالعات متابولیکی سلول NB<sub>4</sub> شود و همچنین در دوز ترکیبی با آرسنیک تری اکساید، اثربخشی آرسنیک را تقویت کند. بر اساس یافته‌های این مطالعه، بهترین دوز درمانی ترکیب DFO با ۰/۵ ATO پس از ۷۲ ساعت مجاورت با دارو بود که بیشترین اثرگذاری را نشان داد. همچنین دوز درمانی ترکیب ۲۰۰ DFO با ۰/۵ ATO پس از ۲۴ ساعت مجاورت با دارو، بهترین اثرگذاری را در زمان کوتاه ۲۴ ساعت داشت.

در دوز ۲۰۰ DFO کاهش تعداد سلول، کاهش زندگمانی و کاهش فعالیت متابولیکی بسیار واضح بود. اختلاف نتایج مطالعه‌ی حاضر از لحاظ آماری معنی دار می‌باشد ( $<0.050$  P). احتمال می‌رود DFO به مانند ATO دارای مکانیسم‌های مولکولی مشابهی باشد که باعث کاهش فعالیت سلولی و زندگمانی سلول می‌شود. توصیه می‌گردد مطالعات تکمیلی و مولکولی در مورد مکانیسم اثر DFO انجام شود. بنابراین مطالعه‌ی حاضر نشان داد که DFO در ترکیب با ATO در مقایسه با ATO به تنها‌ی بسیار مؤثرتر است و می‌توان نتیجه گرفت که DFO می‌تواند در

بهبودی بیشتر بیماران مقاوم به درمان و بیماران عود یافته، علاوه بر بیماری اولیه APL شد. بدین صورت که داروی آرسنیک باعث القای آپوپتوز در سلول‌های NB<sub>4</sub> می‌شود (۱۵).

از آن جایی که مسیرهای آپوپتوییک مشترکی بین DFO و ATO وجود دارد، ممکن است به کار بردن DFO در ترکیب با دوز پایین و غیر آپوپتوییک آرسنیک باعث تقویت اثر دوز پایین آرسنیک در القای آپوپتوز و کاهش فعالیت متابولیکی شود. در این مطالعه، مشاهده شد که DFO باعث کاهش رشد و فعالیت متابولیکی سلول می‌گردد. از آن جا که تاکنون مطالعه‌ای در رابطه با اثرات DFO بر روی بیان ژن‌ها، چرخه‌ی سلولی و مسیرهای انتقال پیام صورت نگرفته است؛ بنابراین توصیه می‌شود تحقیقات بیشتری در این زمینه صورت پذیرد تا مکانیسم اثرات DFO به تنها و همچنین اثرات ترکیبی DFO با ATO به طور کامل مشخص شود.

### تشکر و قدردانی

بدین وسیله ام همکاری معاونت محترم پژوهشی دانشگاه علوم پزشکی تهران به دلیل حمایت مالی این طرح به شماره‌ی ۹۲-۰۲-۳۱-۲۱۳۱ و همچنین از مسؤولین و پرسنل آزمایشگاه هماتولوژی و آزمایشگاه تحقیقات مرکزی دانشکده‌ی پیرا پژوهشکی دانشگاه علوم پزشکی تهران که در انجام این مطالعه با ما همکاری کردند، تشکر و قدردانی می‌گردد.

### References

- Rego EM, De Santis GC. Differentiation syndrome in promyelocytic leukemia: clinical presentation, pathogenesis and treatment. *Mediterr J Hematol Infect Dis* 2011; 3(1): e2011048.
- Jovanovic JV, Rennie K, Culligan D, Peniket A, Lennard A, Harrison J, et al. Development of real-time quantitative polymerase chain reaction assays to track treatment response in retinoid

- resistant acute promyelocytic leukemia. *Front Oncol* 2011; 1: 35.
3. Grimwade D, Mrozek K. Diagnostic and prognostic value of cytogenetics in acute myeloid leukemia. *Hematol Oncol Clin North Am* 2011; 25(6): 1135-61, vii.
  4. Lo-Coco F, Avvisati G, Vignetti M, Thiede C, Orlando SM, Iacobelli S, et al. Retinoic acid and arsenic trioxide for acute promyelocytic leukemia. *N Engl J Med* 2013; 369(2): 111-21.
  5. Park JH, Tallman MS. Treatment of acute promyelocytic leukemia without cytotoxic chemotherapy. *Oncology (Williston Park)* 2011; 25(8): 733-41.
  6. Lang E, Grudic A, Pankiv S, Bruserud O, Simonsen A, Bjerkvig R, et al. The arsenic-based cure of acute promyelocytic leukemia promotes cytoplasmic sequestration of PML and PML/RARA through inhibition of PML body recycling. *Blood* 2012; 120(4): 847-57.
  7. Tomita A, Kiyoi H, Naoe T. Mechanisms of action and resistance to all-trans retinoic acid (ATRA) and arsenic trioxide (As<sub>2</sub>O<sub>3</sub>) in acute promyelocytic leukemia. *Int J Hematol* 2013; 97(6): 717-25.
  8. Bergeron RJ, Wiegand J, Brittenham GM. HBED ligand: preclinical studies of a potential alternative to deferoxamine for treatment of chronic iron overload and acute iron poisoning. *Blood* 2002; 99(8): 3019-26.
  9. Liu ZD, Hider RC. Design of clinically useful iron(III)-selective chelators. *Med Res Rev* 2002; 22(1): 26-64.
  10. Stevens RG, Graubard BI, Micozzi MS, Nagoshi K, Blumberg BS. Moderate elevation of body iron level and increased risk of cancer occurrence and death. *Int J Cancer* 1994; 56(3): 364-9.
  11. Blatt J, Stitely S. Antineuroblastoma activity of desferoxamine in human cell lines. *Cancer Res* 1987; 47(7): 1749-50.
  12. Deugnier Y, Turlin B. Iron and hepatocellular carcinoma. *J Gastroenterol Hepatol* 2001; 16(5): 491-4.
  13. Lederman HM, Cohen A, Lee JW, Freedman MH, Gelfand EW. Deferoxamine: a reversible S-phase inhibitor of human lymphocyte proliferation. *Blood* 1984; 64(3): 748-53.
  14. Renton FJ, Jeitner TM. Cell cycle-dependent inhibition of the proliferation of human neural tumor cell lines by iron chelators. *Biochem Pharmacol* 1996; 51(11): 1553-61.
  15. Li J, Chen P, Sinogeeva N, Gorospe M, Wersto RP, Chrest FJ, et al. Arsenic trioxide promotes histone H3 phosphoacetylation at the chromatin of CASPASE-10 in acute promyelocytic leukemia cells. *J Biol Chem* 2002; 277(51): 49504-10.
  16. Zhang TC, Schmitt MT, Mumford JL. Effects of arsenic on telomerase and telomeres in relation to cell proliferation and apoptosis in human keratinocytes and leukemia cells in vitro. *Carcinogenesis* 2003; 24(11): 1811-7.
  17. Sanz MA, Fenoux P, Lo CF. Arsenic trioxide in the treatment of acute promyelocytic leukemia. A review of current evidence. *Haematologica* 2005; 90(9): 1231-5.
  18. Tanaka T, Muto N, Ido Y, Itoh N, Tanaka K. Induction of embryonal carcinoma cell differentiation by deferoxamine, a potent therapeutic iron chelator. *Biochim Biophys Acta* 1997; 1357(1): 91-7.
  19. Fukuchi K, Tomoyasu S, Watanabe H, Tsuruoka N, Gomi K. G1 accumulation caused by iron deprivation with deferoxamine does not accompany change of pRB status in ML-1 cells. *Biochim Biophys Acta* 1997; 1357(3): 297-305.
  20. Hann HW, Stahlhut MW, Hann CL. Effect of iron and desferoxamine on cell growth and in vitro ferritin synthesis in human hepatoma cell lines. *Hepatology* 1990; 11(4): 566-9.
  21. Donfrancesco A, Deb G, Angioni A, Maurizio C, Cozza R, Jenkner A, et al. D-CECaT: a breakthrough for patients with neuroblastoma. *Anticancer Drugs* 1993; 4(3): 317-21.